

УДК: 539.16

А. Н. Исмаилова, П. Г. Шаров

Расчет корреляций при четырехпротонном распаде методом Монте-Карло

Для относительно легких стабильных изотопов характерно примерно равное число нейтронов и протонов в ядре (ядерная материя симметрична). При этом характерная энергия связи нуклона равна нескольким МэВ. Такие ядра образуют на карте изотопов «долину ядерной стабильности». При изменении соотношения протонов и нейтронов уменьшается энергия связи ядра. При увеличении избытка протонов (нейтронов) энергия связи протона (нейтрона) уменьшается, в какой-то момент времени переходит через ноль и становится отрицательной. Таким образом, ядро становится ядерно-нестабильным (несвязанным). На карте изотопов области связанных и несвязанных ядер отделены линиями, которые называются «границами стабильности». Свойства ядер вблизи границ стабильности значительно отличаются от свойств стабильных ядер. Примером может служить динамика двухпротонного ($2p$) распада. Для стабильных ядер энергия отделения двух протонов (S_{2p}) больше энергии отделения одного протона (S_p). $2p$ распад идет последовательно заселением промежуточных состояний. Но вблизи границ стабильности возможна ситуация, когда $S_p > S_{2p}$, и наблюдается прямой $2p$ распад (т.е. протоны излучаются одновременно без заселения промежуточного состояния). Есть указания на существование ядерных систем, подверженных распаду с испусканием четырех протонов из основного состояния. Такой вид распада обладает довольно сложной динамикой и его изучение является интересной задачей как для теоретиков, так и для экспериментаторов. В данной работе проводилось теоретическое изучение четырехпротонного ($4p$) распада: были рассчитаны корреляции продуктов распада. Аналитически антисимметризация волновой функции приводит к весьма сложным, громоздким вычислениям, поэтому она была проведена численно методом Монте-Карло.

Ключевые слова: границы стабильности, $2p/2n$ распады, $4p/4n$ распады, метод Монте-Карло.

Об авторах

Исмаилова Арайлым Насируллакызы – студент-магистрант кафедры ядерной физики Государственного университета «Дубна». 141980, г. Дубна, ул. Ленинградская, д. 10, кв. 309. E-mail: ismailova_araiika@mail.ru.

Шаров Павел Германович – инженер сектора № 6 «Структура легких экзотических ядер», ЛЯР им. Г.Н. Флерова, ОИЯИ. E-mail: pavlsh@mail.ru.

Эксперименты на пучках радиоактивных ионов позволили существенно расширить известную область карты изотопов. Если эксперименты на стабильных пучках и реакторах позволяют исследовать сравнительно долгоживущие ядра (образующие долину стабильности), то использование пучков радиоактивных ионов позволило очертить границы ядерной стабильности и достигнуть их в области лёгких ядер. Развитие установок по производству пучков радиоактивных ионов позволит в ближайшей перспективе проводить прецизионные исследования систем, лежащих как на границе стабильности, так и за ее пределами.

Важным направлением исследования

несвязанных ядерных систем является исследование распадов с испусканием нескольких частиц. Если подобный распад из возбужденного состояния стабильной системы обычно сводится к последовательному излучению частиц, то на границе стабильности такие распады могут иметь довольно сложную динамику. Примером может служить двухпротонная радиоактивность и прямой двухпротонный $2p$ распад [2].

Двухпротонная радиоактивность как новый тип радиоактивного распада был предсказан В.И. Гольданским в 1960 г. в работе [4]. Двухпротонная радиоактивность – это явление спонтанного испускания двух протонов атомным ядром из своего основного состояния. Такой тип радиоактивного распада обуславливается спариванием протонов в ядре. В.И. Гольданский получил вид

соотношения энергий связи нейтрона и протона в зеркальных ядрах. Основываясь на своих соображениях, он установил границу устойчивости лёгких ядер с дефицитом нейтронов к испусканию протонов. Изотопы, которые обладают четным количеством протонов даже если энергия связи одного протона положительна, могут стать нестабильными относительно одновременного испускания двух протонов.

Данная статья посвящена исследованию четырехпротонных $4p$ (четырёхнейтронных $4n$) распадов. Единственной экспериментально изученной системой, испытывающей $4p$ распад из основного состояния, является 8C . Эксперимент [4] показал, что динамика распада 8C не сводится ни к прямой, ни к последовательной. Распад происходит в два этапа: на первом этапе происходит испускание двух протонов и заселение резонанса 6Be , на втором этапе данный резонанс распадается. В статье приводится качественное описание корреляций при подобном процессе.

Теоретическое исследование корреляций при подобных распадах важно не только с точки зрения получения спектрометрической информации из корреляционных измерений. Качественные знания о корреляционной картине ответят на вопрос о возможности исследования $4p/4n$ распадов в экспериментах с неполной кинематикой. Исследование данных процессов в полнокинематических экспериментах затруднено необходимостью измерять как минимум пять частиц в совпадении. При наличии довольно яркой корреляционной картины возможно ограничиться регистрацией части продуктов распада (или только определённых проекций импульса продуктов распада). При этом спектрометрическая информация извлекается не из инклюзивного спектра, а из корреляций между продуктами распада.

Реакции с большим количеством продуктов распада могут быть исследованы пу-

тем проведения Монте-Карло моделирования. Методы Монте-Карло широко применяются при исследовании явлений в случайных процессах, слишком сложных для явного решения методами теории вероятностей, а именно, в задачах диффузии нейтронов, задачах детектирования и связи и в разнообразных исследованиях операций. Сверх этого, часто имеет смысл преобразовать задачи других типов, особенно содержащие сложные многомерные интегралы, в такую форму, которая позволяет решать их методами Монте-Карло. В данной работе был использован генератор первичных событий для построения антисимметризованной амплитуды пяти тел. Метод Монте-Карло был выбран по двум причинам: 1) метод удобен для решения поставленной задачи и 2) он позволяет представить результаты работы в форме, которая удобна для дальнейшего анализа экспериментальных данных, т.е. в виде набора событий.

Системы, распадающиеся путем испускания двух протонов, в настоящее время довольно хорошо изучены. Поэтому основываясь на результатах теоретических и экспериментальных исследований истинных $2p/2n$ распадов, возможно изучение систем, подверженных распадам, с испусканием и большего количества нуклонов. На сегодняшний день единственной изученной ядерной системой, испытывающей распад с испусканием четырех протонов из основного состояния, является 8C , хотя было определено, что он не является истинным $4p$ -эмиттером, т.к. подвергается последовательным $2p$ распадам через промежуточное состояние 6Be [3].

Задача четырехпротонного распада есть задача пяти тел. Для описания движения системы пяти тел можно использовать несколько наборов динамических переменных. Ниже приводится описание набора динамических переменных, используемого в данной работе:

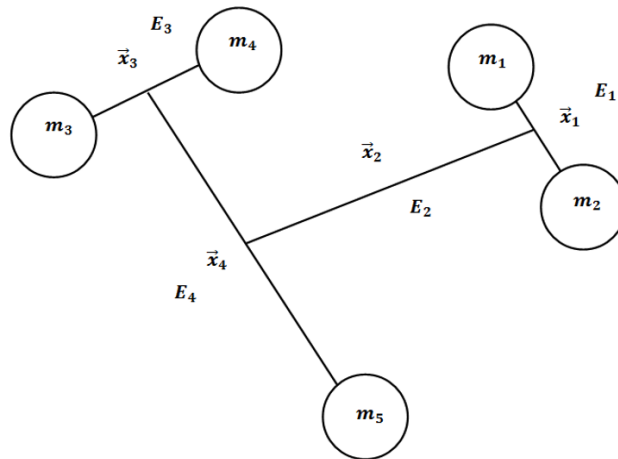


Рис. 1. Координаты Якоби для системы пяти тел

На рис. 1 представлена выбранная для описания $4p$ распада система пяти тел, где m_1, m_2, m_3, m_4 – это массы протонов, равные 938.272 МэВ, а $m_5 = 3727.379$ МэВ – масса кора, которая намного превышает массу протона). В данной работе задача пяти тел была сведена к двум трехтелным задачам (кор + p + p). Согласно описанию задачи, трех тел в работе [6], были выбраны T -системы трех тел.

В декартовой системе координат существуют радиус-векторы $\{\mathbf{r}_1, \mathbf{r}_2, \mathbf{r}_3, \mathbf{r}_4, \mathbf{r}_5\}$, которые в рамках данной задачи удобнее представить через координаты Якоби $\{\mathbf{x}_1, \mathbf{x}_2, \mathbf{x}_3, \mathbf{x}_4, \mathbf{x}_5\}$:

$$\begin{aligned} \mathbf{x}_1 &= \mathbf{r}_1 - \mathbf{r}_2, \\ \mathbf{x}_2 &= -\frac{m_1}{m_1 + m_2} \mathbf{r}_1 - \frac{m_2}{m_1 + m_2} \mathbf{r}_2 + \\ &\quad + \frac{m_3}{m_3 + m_4 + m_5} \mathbf{r}_3 + \\ &\quad + \frac{m_4}{m_3 + m_4 + m_5} \mathbf{r}_4 + \frac{m_5}{m_3 + m_4 + m_5} \mathbf{r}_5, \\ \mathbf{x}_3 &= \mathbf{r}_3 - \mathbf{r}_4, \\ \mathbf{x}_4 &= \frac{m_3}{m_3 + m_4} \mathbf{r}_3 + \frac{m_4}{m_3 + m_4} \mathbf{r}_4 - \mathbf{r}_5, \\ \mathbf{x}_5 &= \frac{m_1}{M} \mathbf{r}_1 + \frac{m_2}{M} \mathbf{r}_2 + \frac{m_3}{M} \mathbf{r}_3 + \frac{m_4}{M} \mathbf{r}_4 + \frac{m_5}{M} \mathbf{r}_5, \end{aligned}$$

т.е. перейти в систему центра масс, где \mathbf{x}_5 – радиус-вектор центра масс, а $M = \sum_i m_i$ – суммарная масса всех частиц систем.

Соответственно, импульсы пяти частиц в декартовой системе координат \mathbf{p}_i , представленные в виде:

$$\mathbf{p}_i = m_i \dot{\mathbf{r}}_i,$$

удобнее перевести в импульсы Якоби \mathbf{k}_i и ввести полный импульс системы \mathbf{K} .

$$\begin{aligned} \mathbf{k}_1 &= \frac{m_2}{m_1 + m_2} \mathbf{p}_1 - \frac{m_1}{m_1 + m_2} \mathbf{p}_2, \\ \mathbf{k}_2 &= -\frac{m_3 + m_4 + m_5}{M} \mathbf{p}_1 - \\ &\quad - \frac{m_3 + m_4 + m_5}{M} \mathbf{p}_2 + \frac{m_1 + m_2}{M} \mathbf{p}_3 + \\ &\quad + \frac{m_1 + m_2}{M} \mathbf{p}_4 + \frac{m_1 + m_2}{M} \mathbf{p}_5, \\ \mathbf{k}_3 &= \frac{m_5}{m_1 + m_2} \mathbf{p}_3 - \frac{m_1}{m_1 + m_2} \mathbf{p}_4, \\ \mathbf{k}_4 &= \frac{m_5}{m_3 + m_4 + m_5} \mathbf{p}_3 + \\ &\quad + \frac{m_5}{m_3 + m_4 + m_5} \mathbf{p}_4 - \\ &\quad - \frac{m_3 + m_4}{m_3 + m_4 + m_5} \mathbf{p}_5, \\ \mathbf{K} &= \sum_i \mathbf{p}_i. \end{aligned}$$

Кинетические энергии частиц T_i , имевшие в декартовых координатах вид:

$$T_i = \frac{p_i^2}{2m_i},$$

в представлении Якоби преобразуются как:

$$\begin{aligned} E_i &= \frac{k_i^2}{2\mu_i}, \\ E_T &= \frac{K^2}{2M}, \end{aligned}$$

где μ_i – приведенные массы подсистем:

$$\begin{aligned} \mu_1 &= \frac{m_1 m_2}{m_1 + m_2}, \\ \mu_2 &= \frac{(m_3 + m_4 + m_5)(m_1 + m_2)}{M}, \end{aligned}$$

$$\mu_3 = \frac{m_3 m_4}{m_3 + m_4},$$

$$\mu_4 = \frac{(m_3 + m_4) m_5}{m_3 + m_4 + m_5}.$$

Для построения взаимно однозначного перехода от энергий частиц в системе координат к энергиям в подсистемах системы координат Якоби и построения соответствующего фазового объема в энергетическом представлении энергиям подсистем E_1, E_2, E_3, E_4 сопоставляется полная энергия системы E_T и параметры $\varepsilon_1, \varepsilon_2, \varepsilon_3$, которые отвечают за распределение энергии между Якобиевскими подсистемами:

$$E_1 = E_T \varepsilon_1 \varepsilon_2,$$

$$E_2 = E_T \varepsilon_1 (1 - \varepsilon_2),$$

$$E_3 = E_T \varepsilon_3 (1 - \varepsilon_1),$$

$$E_4 = E_T (1 - \varepsilon_1) (1 - \varepsilon_3).$$

Переход от энергий к импульсам выражается в виде:

$$dE_T d\varepsilon_1 d\varepsilon_2 d\varepsilon_3 =$$

$$= \frac{16(1 - \varepsilon_2)\varepsilon_2(1 - \varepsilon_3)\varepsilon_3}{\mu_1 \mu_2 \mu_3 \mu_4 E^5} dk_1 dk_2 dk_3 dk_4.$$

4p-распад описывается в данной работе как двухэтапный процесс. На каждом этапе происходит прямое испускание двух протонов. Поэтому изложение нашего формализма мы начнем с описания прямого двухпротонного распада. Такое описание было проведено в работах [1] и [2].

Задача двухпротонного распада является задачей трех тел. Для качественного описания такого распада необходимо построить амплитуду распада, которая является решением уравнения Шредингера:

$$(\hat{H} - E_T)\psi_3^{JM} =$$

$$= (\hat{T} + \hat{V}_{12}(\mathbf{R}_{12}) + \hat{V}_{23}(\mathbf{R}_{23}) + \hat{V}_{31}(\mathbf{R}_{31}) - E_T)\psi_3^{JM} = 0.$$

В настоящее время интенсивно развивается подход к решению квантово-механической задачи нескольких тел, основанный на методе гиперсферических гармо-

ник (МГГ) [1], основой которого является то, что волновая функция ряда трехчастичных задач эффективно разлагаются по гиперсферическому базису. Решение ψ_3^{JM} уравнения Шредингера для трех тел ищется в виде разложения по гиперсферическим гармоникам:

$$\psi_3^{JM} = \sum_{K\gamma} \rho^{-5/2} \chi_{K\gamma}(\chi\rho) J_{K\gamma}^{JM}(\Omega_\rho),$$

где гипергармоники $J_{K\gamma}^{JM}(\Omega_\rho)$ с определенным полным спином J и его проекцией M

$$J_{KLSl_x l_y}^{JM}(\Omega_\rho) = \psi_K^{l_x l_y}(\theta) \times$$

$$\times \left[[Y_{l_x}(\Omega_x) \otimes Y_{l_y}(\Omega_y)]_L \otimes X_{SS_x} \right]_{JM}$$

образуют полный набор ортонормированных функций на «гиперсфере» $\Omega_\rho = \{\theta_\rho, \Omega_x, \Omega_y\}$ определенного гиперрадиуса ρ . K – есть квантовое число обобщенного углового момента (гипермомент), а «мультииндекс» γ обозначает набор квантовых чисел орбитальных моментов и спинов подсистем $\gamma = \{L, l_x, l_y, S, S_x\}$. L – полный угловой момент системы, l_x и l_y – угловые моменты, связанные с Якобиевскими координатами, S – полный спин системы, а S_x – спин подсистемы «X». Чисто гиперугловая функция выражается через полиномы Якоби $\psi_K^{l_x l_y}$, а X_{SS_x} является полной спиновой функцией [1]:

$$X_{SS_x M_S} = \left[[\chi_{S_1} \otimes \chi_{S_2}] \otimes \chi_{S_3} \right]_{S M_S}.$$

При небольших энергиях возбуждения ядра спектр возбужденных состояний имеет дискретный характер (для стабильных ядер). Так как возбужденные состояния имеют конечное время жизни τ , в соответствии с принципом неопределенности они точно не определены по энергии $\Delta E = \Gamma \sim \hbar/\tau$.

В случае трех тел сечение распада выглядит следующим образом в результате «сшивки» радиальной и угловой частей:

$$\frac{d^2 j}{d\varepsilon dc_k} \sqrt{\frac{2E_T}{M}} \sqrt{\varepsilon(1 - \varepsilon)} \sum_{LSS_x} \sum_{KK'} \sum_{l_x l' x l_y l' y} \left(A_{K' L' l' x l' y}^{JSS_x}(E_T) \right)^* A_{K L l x l y}^{JSS_x}(E_T) \psi_{K'}^{l' x l' y}(\theta_x) \times$$

$$\times \Psi_K^{l_x l_y}(\theta_\kappa) \frac{\hat{l}'_x \hat{l}'_y}{2L+1} \sum_m C_{l'_x m, l'_y 0}^{L, m} C_{l_y m, l_y 0}^{L, m} N_{l'_x}^m P_{l'_x}^m(c_\kappa) N_{l_x}^m P_{l_x}^m(c_\kappa),$$

где A_{KLLxly}^{ISSx} – асимптотические амплитуды; $N_{l_x}^m P_{l_x}^m(c_\kappa)$ – полиномы Лежандра, нормированные на единицу; $\varepsilon = \frac{E_x}{E_T} = \sin^2 \theta_\kappa$ – распределение энергии между подсистемами; $c_\kappa = \cos \theta_\kappa$ – косинус угла θ_κ между Якоби-евскими импульсами k_x и k_y . Параметры ε и c_κ удобны при извлечении информации о «внутренних» (т.е. связанных только со свойствами данного состояния, а не, скажем, с механизмом реакции) импульсных корреляций [2].

Амплитуда распада системы пяти тел Ψ_5^{JM} факторизуется на две трехчастичных амплитуды:

$$A_5^{JM} = A_3^{JM} \otimes A_3^{JM},$$

$$A_3^{JM} = \left[[l_x \otimes l_y]_l \otimes [s_1 \otimes s_2]_s \right]_{JM}.$$

Соответственно, энергетическая составляющая трехчастичной амплитуды может быть записана в виде:

$$A_3 \equiv \frac{\Gamma(E_T)}{E_T - E_r + \frac{i\Gamma}{2}},$$

где в качестве исходных были использованы данные работы [3] для изотопа ^8C , подверженного последовательному распаду с испусканием $4p$ через промежуточное состояние $2p + ^6\text{Be}$:

- 1) энергия резонансного состояния $E_r = 2,35$ МэВ;
- 2) ширина состояния $\Gamma = 130 \pm 50$ кэВ.

Также для трехчастичной амплитуды использовались:

1) квантовые числа $J^\pi = 0^+, s = 1$;

2) значения полной энергии системы E_T в диапазоне от 2 до 6 МэВ.

Существуют два набора квантовых чисел, соответствующих $J^\pi = 0^+$:

I: $l_x = 0, l_y = 0, l = 0, s_1 = 1/2, s_2 = 1/2, s = 0, J = 0$;

II: $l_x = 1, l_y = 1, l = 1, s_1 = 1/2, s_2 = 1/2, s = 1, J = 0$.

Так как построенная таким образом амплитуда не гарантирует антисимметрии по перестановкам, ее необходимо подвергнуть процедуре антисимметризации:

$$A_5^{AS} = \sum_{p4} \epsilon(p4) A_5^{JM}(p4).$$

Здесь ϵ – символы Леви-Чивиты; $p4$ – множество перестановок вектор состояний протонов.

В итоге были получены следующие результаты:

- 1) $A_5^{JM} = [I \otimes I]$ – не антисимметрична;
- 2) $A_5^{JM} = [I \otimes II]$ – не антисимметрична;
- 3) $A_5^{JM} = [II \otimes II]$ – антисимметрична.

Для лучшего понимания картины корреляций при $4p$ распаде для различных параметров расчета введены три приближения: фазового объема, не антисимметризованной и антисимметризованной амплитуд и построены полное распределение, распределения в Якобиевских подсистемах и в системе кор-протон.

1. Приближение фазового объема.

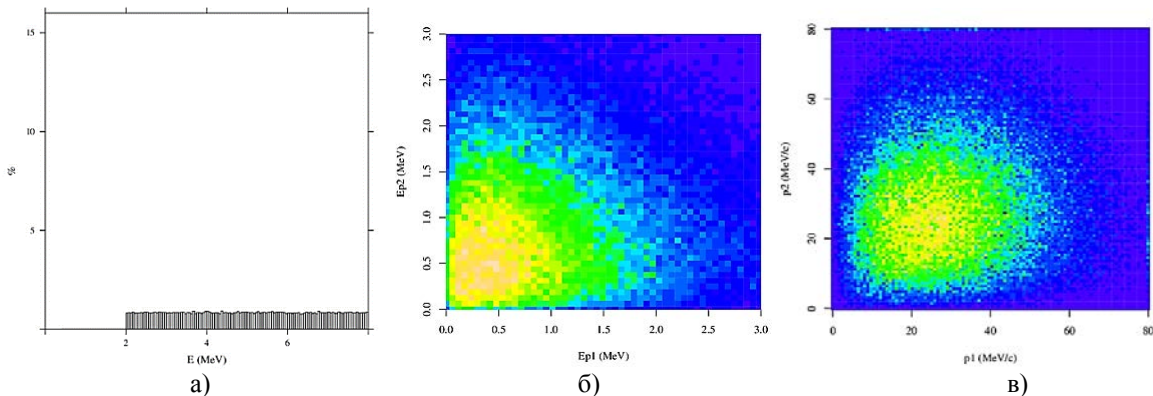


Рис. 2. а) Распределение полной энергии системы, б) корреляции между двумя энергиями в системе кор-протон, в) корреляции между двумя поперечными импульсами для расчетов с фазовым объемом для расчетов с фазовым объемом

2. Не антисимметризованная амплитуда

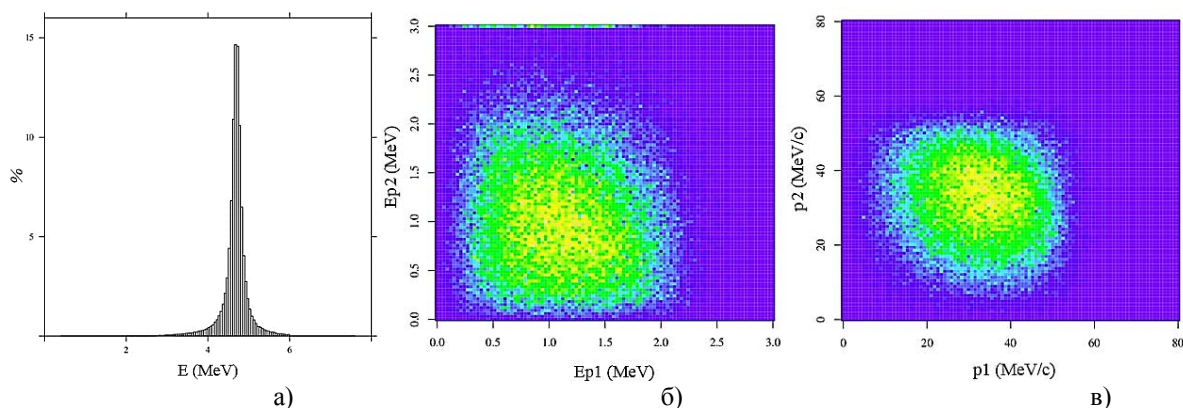


Рис. 3. а) Распределение полной энергии системы, б) корреляции между двумя энергиями в системе кор-протон, в) корреляции между двумя поперечными импульсами для расчетов с не антисимметризованной амплитудой

3. Антисимметризованная амплитуда.

В данном разделе приведены картины корреляций при условии, что импульсы про-

дуктов распада равномерно распределены по фазовому объему.

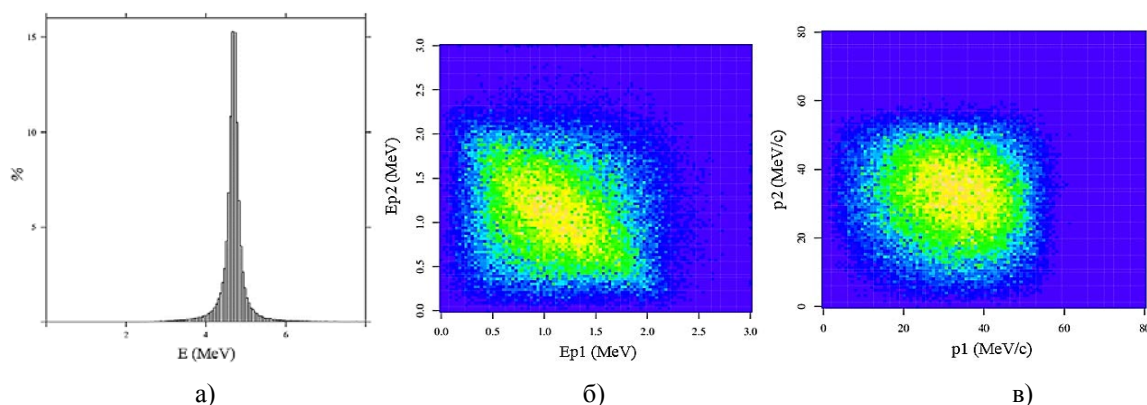


Рис. 4. а) Распределение полной энергии системы, б) корреляции между двумя энергиями в системе кор-протон, в) корреляции между двумя поперечными импульсами для расчетов с антисимметризованной амплитудой

На рис. 2–4 представлены картины для различных параметров расчета. Если распределение полной энергии системы, корреляции между двумя энергиями в системе кор-протон и между двумя поперечными импульсами для расчетов с фазовым объемом не дают какого-либо качественного описания нашей системы, то для расчетов с не антисимметризованной и антисимметризованной амплитудами дело обстоит иначе. На рис. 3а и 4а распределения полной энергии для не антисимметризованной и антисимметризованной амплитуд наблюдается

довольно четкий пик в $E_T = 2,35$ МэВ. При этом картины корреляций между двумя энергиями в системе кор-протон и между двумя поперечными импульсами для антисимметризованной амплитуды более точно описывают прямой $2p$ распад, в отличие от аналогичных картин для не антисимметризованной амплитуды. В результате по картинкам корреляций можно сделать вывод, что при исследованиях распределений необходимо учесть антисимметризацию, т.к. в Якоби-евских подсистемах и в системе кор-протон были получены существенно отличающиеся

картины для не антисимметризованной и антисимметризованной амплитуд.

В работе рассмотрено довольно простое приближение для описания $4p$ распада, которое учитывает тождественность протонов распада, на примере системы ^8C . Спектр системы и корреляции продуктов распада рассчитывались с помощью метода Монте-Карло. В ходе работы были рассмотрены ограничения на возможные наборы квантовых чисел, связанные с антисимметризацией по перестановкам протонов. Расчеты корреляций демонстрируют значительные различия между рассмотренным приближением и моделями, не учитывающими тождественность частиц.

Библиографический список

1. Григоренко Л.В. Динамические аспекты квантовомеханической задачи нескольких тел вблизи границы ядерной стабильности : автореф. дис. ... д.ф.-м. н. Дубна: ОИЯИ, 2009. 28 с.
2. Григоренко Л.В. Теоретическое изучение двухпротонной радиоактивности. Статус, предсказания, приложения // ЭЧАЯ. 2009. Т. 40, № 5.
3. Григоренко Л.В., Головков М.С., Крупко С.А. Исследования легких экзотических ядер вблизи границы стабильности в Лаборатории ядерных реакций ОИЯИ // УФН. 2016. Т. 50, № 4.
4. Charity R.J., Elson J.M., Manfredi J. et al. Investigations of three-, four-, and five-particle decay channels of levels in light nuclei created using a ^9C beam // Phys. Rev. 2011. Vol. C84. P. 014320.
5. Goldansky V. I. On neutron-deficient isotopes of light nuclei and the phenomena of proton and two-proton radioactivity // Nucl. Phys. 19. 1960. Vol. 49. P. 482
6. Pfutzner M. et al. Radioactive Decays at Limits of Nuclear Stability // Rev. Mod. Phys. 2012. V. 84. P. 567.

*Поступила в редакцию
23.09.2016*